

# НЕЛИНЕЙНОЕ ПОВЕДЕНИЕ ОСЦИЛЛЯЦИЙ ШУБНИКОВА—ДЕ-ГААЗА В СИЛЬНЫХ ЭЛЕКТРИЧЕСКИХ ПОЛЯХ В КОРТОКОКАНАЛЬНЫХ $\text{Al}_x\text{Ga}_{1-x}\text{As}/\text{GaAs}$ -ГЕТЕРОСТРУКТУРАХ

С. В. Морозов, Ю. В. Дубровский

Институт проблем технологий микроэлектроники и особочистых материалов Российской академии наук, 142432, Черноголовка, Россия

(Получена 24 февраля 1993 г. Принята к печати 30 марта 1993 г.)

Исследуется транспорт двумерных электронов в широких и коротких ( $\approx 1$  мкм) гетероструктурах в квантующих магнитных полях. Обнаружено, что нелинейные зависимости дифференциальной проводимости от напряжения на образце  $V_c$  имеют характерные особенности при  $eV_c$ , равном половине расстояния между уровнями Ландау ( $\hbar\Omega_c/2$ ). При этом характер нелинейности периодически изменяется с числом заполненных уровней Ландау.

Естественным энергетическим масштабом в квантующих магнитных полях является расстояние между уровнями Ландау  $\hbar\Omega_c$ . Существует ряд работ, где транспортные свойства двумерного электронного газа (ДЭГ) явно связаны с величиной  $\hbar\Omega_c$ . Так, в работе [1] в узких ( $\approx 1$  мкм) гетероструктурах пробой квантового эффекта Холла (КЭХ) происходил при напряжениях на образце, равных  $\hbar\Omega_c/e$ , где  $e$  — заряд электрона. В работах [2, 3] обнаружена тонкая структура в запробойной области КЭХ, кратная  $\hbar\Omega_c$ . Нелинейные вольт-амперные характеристики (ВАХ) с порогом по холловскому напряжению, равным  $\hbar\Omega_c/e$ , обнаружены и при полуцелом заполнении уровней Ландау [4]. Как правило, для объяснения экспериментальных результатов предлагаются модели, учитывающие квазиупругие переходы электронов между уровнями Ландау [5, 6] или рассеяние краевых состояний [4, 7]. Отметим работу [8], в которой экспериментально исследовано нелинейное токопрохождение через границу раздела между двумя областями ДЭГ с различными концентрациями электронов, непосредственно связанное с переходами между уровнями Ландау.

В нашей работе исследовался транспорт ДЭГ в геометрии, несколько отличной от традиционной. Измерения проводились на широких короткоканальных гетеротранзисторах на  $\text{Al}_{0.3}\text{Ga}_{0.7}\text{As}/\text{GaAs}$  с ДЭГ. Транзистор имел следующие геометрические размеры. Расстояние сток—исток составляло 2.2 мкм, длина затвора 0.6 мкм, ширина канала 50 мкм. Из-за относительно тонкого спейсера в  $\text{Al}_{0.3}\text{Ga}_{0.7}\text{As}$  ( $\approx 50$  Å) ДЭГ имел довольно высокую концентрацию  $n = 9 \cdot 10^{11} \text{ см}^{-2}$  и относительно низкую подвижность  $\mu = 2.5 \div 3.0 \cdot 10^4 \text{ см}^2/\text{В} \cdot \text{с}$ .

Измерялась дифференциальная проводимость между истоком и стоком  $\sigma_d = dI_c/dV_c$  по двухточечной схеме в зависимости от тянувшего напряжения  $V_c$  и магнитного поля  $H$ . Измерения проводились при температуре  $T = 4.2$  К.

В наших экспериментах необходимо учитывать два обстоятельства. Во-первых, напряжением на затворе  $V_g$  можно изменять концентрацию ДЭГ только в области канала, лежащего непосредственно под затвором (в дальнейшем — в области  $B$ ), а в областях исток—затвор и затвор—сток (области  $A$ )  $n$  остается неизменной.

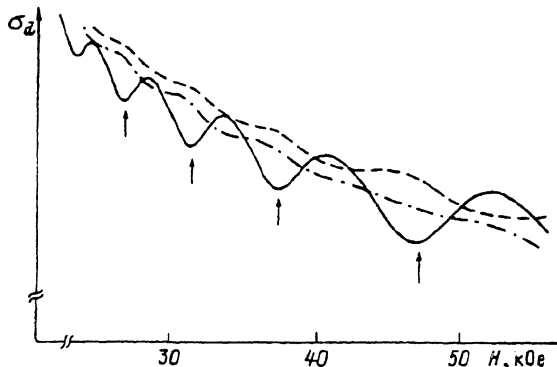


Рис. 1. Зависимость дифференциальной проводимости от магнитного поля при различных напряжениях на образце.  $V_c$ , мВ: сплошная линия — 0; штрих-пунктирная — 4, 5; пунктирующая — 8, 7. Стрелками отмечены значения магнитного поля, при которых заполнено целое число уровней Ландау.  $V_g = 0.5$  В.

Во-вторых, в наших образцах в областях  $A$ , а при  $V_g \geq -0.2$  В и в области  $B$  имеется параллельная двумерному каналу проводимость по слою  $\text{Al}_{0.3}\text{Ga}_{0.7}\text{As}$  с подвижностью носителей  $\mu \approx 10^3 \text{ см}^2/\text{В} \cdot \text{с}$ .

Подвижность ДЭГ в области  $B$  при отрицательных смещениях на затворе падает из-за уменьшения концентрации ДЭГ. Вследствие этих факторов осцилляции Шубникова—де-Гааза при напряжении на затворе  $V_g = -0.9 \div -0.7$  В обусловлены областями  $A$  (при  $V_g = -0.9$  В канал перекрывается), что позволяет определить концентрацию ДЭГ в областях  $A$ , равную  $9 \cdot 10^{11} \text{ см}^{-2}$ . При  $V_g = -0.7 \div -0.2$  В наблюдаются биения осцилляций от областей  $A$  и  $B$ . При  $V_g > -0.2$  В двумерный канал становится однородным по всей длине от истока до стока, а с изменением  $V_g$  меняется только толщина проводящего по  $\text{Al}_{0.3}\text{Ga}_{0.7}\text{As}$  слою в области  $B$ . В последнем случае осцилляции становятся опять периодичными по  $1/H$  и их период практически не зависит от  $V_g$ . При этом с увеличением  $V_g$  монотонно растет  $\sigma_d$ .

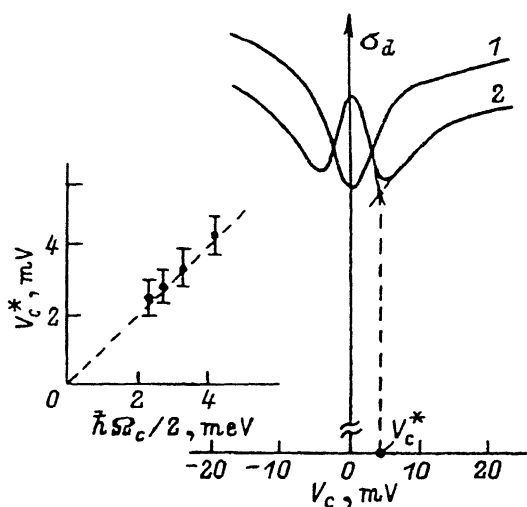


Рис. 2. Зависимости  $\sigma_d$  от  $V_c$  при  $V_g = 0.5$  В.  $H$ , кЭ: 1 — 46, 2 — 52. На вставке — зависимость  $V_c^*$  от  $\hbar\Omega_c/2e$ .

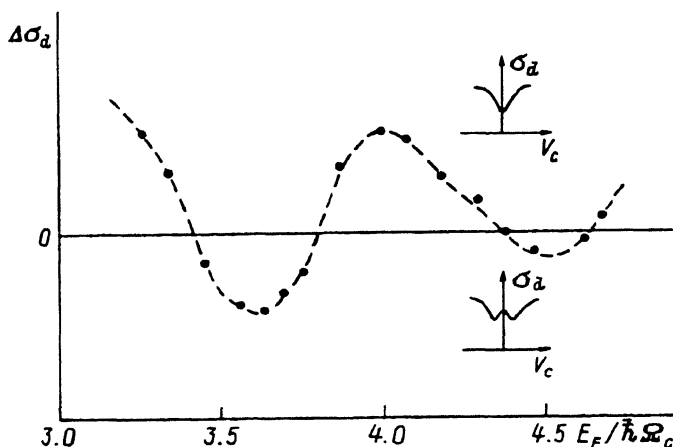


Рис. 3. Зависимость  $\Delta\sigma_d$  от  $E_F/\hbar\Omega_c$ .  $V_g = 0.5$  В. На вставках показан характер зависимости  $\sigma_d = f(V_c)$  (рис. 2) для соответствующего знака  $\Delta\sigma_d$ .

На рис. 1 приведены зависимости  $\sigma_d$  от  $H$  при различных тянувших напряжениях  $V_c$ . Видно, что с увеличением  $V_c$  наряду с падением амплитуды изменяется и характер осцилляций: сначала осцилляции «схлопываются», а затем знак осцилляций меняется на противоположный. С дальнейшим увеличением  $V_c$  амплитуда осцилляций падает. Отметим, что инверсия знака осцилляций происходит при значениях  $eV_c$ , примерно равных  $\hbar\Omega_c/2$ .

Более очевидной становится связь масштаба нелинейности по  $V_c$  и  $\hbar\Omega_c/2$  из рис. 2. На рис. 2 показаны зависимости  $\sigma_d$  от  $V_c$  при фиксированных магнитных полях, соответствующих целому (кривая 1) и полуцелому (кривая 2) заполнению уровней Ландау. Приведенные зависимости различаются качественно, но масштаб нелинейности по  $V_c$  примерно одинаков. Достаточно точно можно определить положение минимума на зависимости, соответствующей полуцелому заполнению уровней Ландау (кривая 2 на рис. 2), обозначенного  $V_c^*$ . На вставке (рис. 2) построена зависимость  $V_c^*$  от  $\hbar\Omega_c/2e$ , определенная при различных магнитных полях, соответствующих максимумам  $\sigma_d$  на рис. 1 (сплошная кривая). Из этих экспериментальных зависимостей следует простое соотношение  $eV_c^* = \hbar\Omega_c/2$ . Отметим, что положение минимума на зависимостях  $G = I_c/V_c$  от  $V_c$ , полученных интегрированием кривых, аналогичным кривой 2 на рис. 2, соответствует  $\hbar\Omega_c/e$ .

Можно более подробно проследить, как меняются амплитуда и знак эффекта с изменением магнитного поля. В качестве количественной характеристики мы взяли величину  $\Delta\sigma_d = \sigma_d(V_c = \hbar\Omega_c/4e) - \sigma_d(V_c = 0)$ . Соответствующая зависимость  $\Delta\sigma_d$  от  $E_F/\hbar\Omega_c$  показана на рис. 3. Очевидна периодичность этой зависимости с изменением количества заполненных уровней Ландау.

Кроме того, оказалось существенным наличие параллельной ДЭГ проводимости по слою  $\text{Al}_{0.3}\text{Ga}_{0.7}\text{As}$ . При  $V_g < -0.2$  В наблюдается (рис. 4) только минимум на зависимостях  $\sigma_d$  от  $V_c$  при  $V_c = 0$ , а с изменением магнитного поля меняется только ширина этого минимума. Нелинейное поведение  $\sigma_d$  проявляется в основном опять же до значений  $eV_c$ , примерно равных  $\hbar\Omega_c$ .

В случае положительных смещений на затворе двумерный канал однороден по всей длине от истока до стока. Большое значение отношения ширины канала к его длине и тот факт, что минимумы в  $\sigma_d$  на рис. 1 соответствуют целому числу заполненных уровней Ландау, позволяет считать, что измеряемая  $\sigma_d$

Рис. 4. Зависимость  $\sigma_d$  от  $V_c$  при  $V_g = -0.5$  В.  $H$ , кЭ: 1 — 41.0, 2 — 44.2, 3 — 49.0, 4 — 52.0.

пропорциональна  $\sigma_{xx}$ . При этом роль затвора играет проводящий слой  $\text{Al}_{0.3}\text{Ga}_{0.7}\text{As}$ . Так как спейсер довольно тонкий, возможен слабый (иначе осцилляции Шубникова—де-Гааза были бы подавлены) туннельный обмен между ДЭГ и проводящим слоем  $\text{Al}_{0.3}\text{Ga}_{0.7}\text{As}$ .

Насколько нам известно, это первое наблюдение нелинейного поведения осцилляций Шубникова—де-Гааза с масштабом  $\hbar\Omega_c$  в отсутствие КЭХ. В наших экспериментах геометрия образцов несколько отлична от традиционной. Короткоканальность структур обусловила довольно высокие электрические поля для характерных тянувших напряжений (если считать, что электрическое поле вдоль канала постоянно)  $E \approx 10$  мВ/1 мкм  $\approx 10^2$  В/см. Это обстоятельство и экспериментальный факт однозначного соответствия характерного масштаба нелинейностей по  $V_c$  и расстояния между уровнями Ландау позволяют предполагать, что наблюдаемые эффекты связаны с квазиупругим переходом электронов между уровнями Ландау в сильном электрическом поле. Однако для таких переходов необходимы электрические поля порядка  $\hbar\Omega_c/el_B \approx 10$  мВ/100 Å  $\approx 10^4$  В/см [6], которые почти на 2 порядка превышают электрические поля в нашем эксперименте ( $l_B$  — магнитная длина).

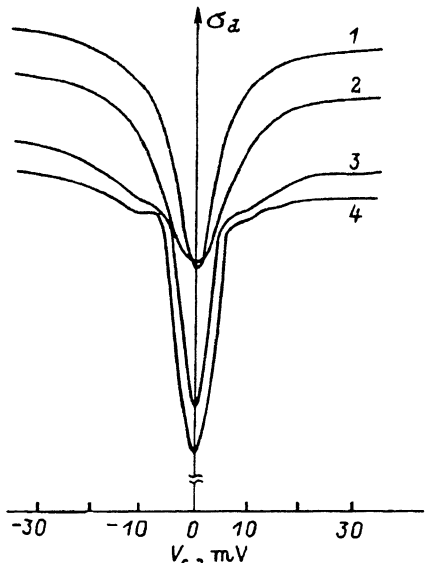
Резко неоднородное распределение потенциала возможно в условиях КЭХ при положении уровня Ферми между уровнями Ландау [9, 10]. В наших же условиях в отсутствие КЭХ характерные нелинейности наблюдаются как при целом, так и полуцелом заполнении уровней Ландау.

Можно было бы предположить, что обнаруженные нелинейности связаны с рассеянием краевых состояний [7]. Однако в этом случае следовало бы ожидать обратного изменения  $\sigma_d$  с увеличением  $V_c$  при целом и полуцелом заполнении уровней Ландау (рис. 2).

В результате работы обнаружено нелинейное поведение осцилляций Шубникова—де-Гааза при увеличении тянувшего напряжения с характерным масштабом  $\hbar\Omega_c/2e$  в короткоканальных гетероструктурах с ДЭГ.

В целом приведенные соображения не позволяют нам предложить детальный механизм наблюдаемых особенностей транспорта ДЭГ в сильных электрических и магнитных полях. Вместе с этим, на наш взгляд, однозначное соответствие между характерным тянувшим напряжением и энергетической структурой спектра электронов позволяет предположить, что наблюдаемое нелинейное поведение проводимости связано с квазиупругими переходами электронов между состояниями этого спектра в сильном электрическом поле.

Авторы выражают благодарность И. Б. Левинсону, Ю. Н. Ханину, И. А. Ларкину и А. К. Гейму за полезные дискуссии.



#### СПИСОК ЛИТЕРАТУРЫ

- [1] J. R. Kertley, Z. Schlesinger, T. N. Theis, F. P. Milliken. Phys. Rev., B34, 5414 (1986).
- [2] M. E. Cage, G. M. Reedtz, D. Y. Yu, C. T. Van Degrift. Semicond. Sci. Technol., 5, 351 (1990).
- [3] L. Bliek, G. Hein, D. Jucknische, V. Kose. Surf. Sci., 196, 156 (1988).

- [4] B. E. Kane, D. C. Tsui, G. Weimann. Phys. Rev. Lett., **59**, 1353 (1987).
- [5] L. Eaves, F. W. Shead. Semicond. Sci. Technol. **1**, 346 (1986).
- [6] В. Л. Покровский, Л. П. Прядко, А. Л. Талапов. ЖЭТФ, **95**, 668 (1989).
- [7] P. C. Van Son, G. H. Kruithof, T. M. Klapwijk. Phys. Rev., **B42**, 11267 (1990).
- [8] B. E. Kane, D. C. Tsui, G. Weimann. Phys. Rev. Lett., **61**, 1123 (1988).
- [9] P. F. Fontein, J. A. Kleinen, P. Heijdricks, F. A. P. Blom. Phys. Rev., **B43**, 12090 (1991).
- [10] А. А. Шашкин, В. Т. Долгополов, С. И. Дорожкин. ЖЭТФ, **91**, 1987 (1986).

Редактор В. В. Чалдышев

---